

MATERIAL SUPLEMENTAR

Fenilpropanoides com ação anti-*Trypanosoma cruzi* isolados de *Baccharis ligustrina* C. DC. (Asteraceae)

Matheus L. Silva^a, Leila Gimenes^b, Paulete Romoff^c, Marisi G. Soares^d, Fernanda F. Camilo^e, Erica Valadares de C. Levatti^f, Andre G. Tempone^f e João Henrique G. Lago^{a,*},^{ip}

^aCentro de Ciências Naturais e Humanas, Universidade Federal do ABC, 09210-170 São Paulo – SP, Brasil

^bCentro de Pesquisa e Desenvolvimento de Recursos Genéticos Vegetais, Instituto Agronômico de Campinas, 13012970 São Paulo – SP, Brasil

^cCentro de Ciências e Humanidades, Universidade Presbiteriana Mackenzie, 01302-907 São Paulo – SP, Brasil

^dInstituto de Química, Universidade Federal de Alfenas, 37130-001 Alfenas – MG, Brasil

^eCentro de Parasitologia e Micologia, Instituto Adolfo Lutz, 01246-000 São Paulo – SP, Brasil

^fInstituto de Ciências Ambientais, Químicas e Farmacêuticas, Universidade Federal de São Paulo, 09972-270 São Paulo – SP, Brasil

*e-mail: joao.lago@ufabc.edu.br

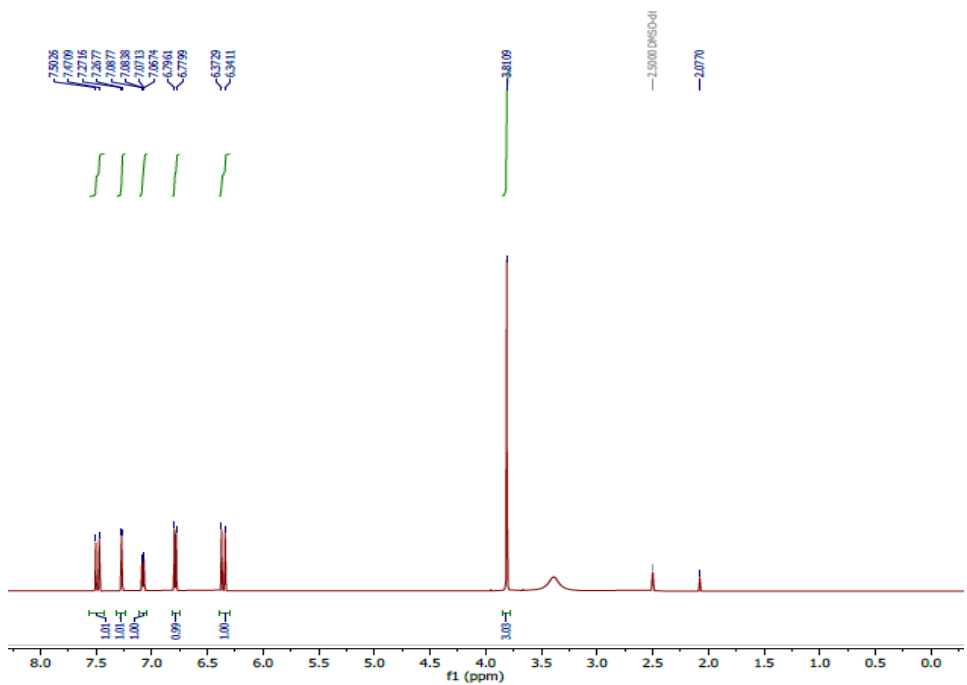


Figura 1S. Espectro de RMN de 1H (δ , 500 MHz, DMSO- d_6) de 1

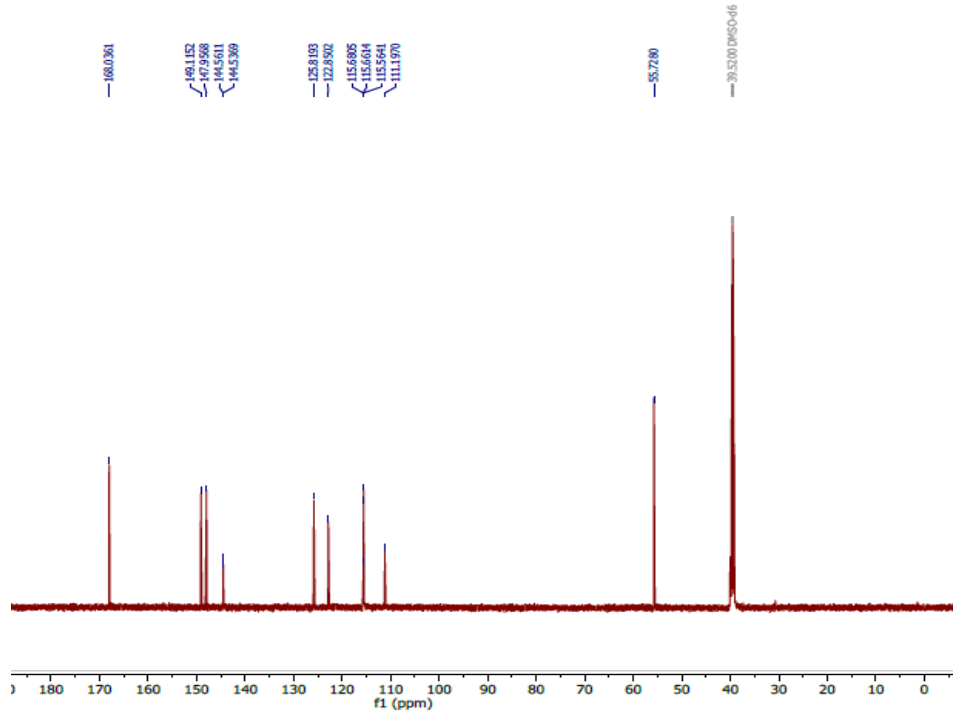


Figura 2S. Espectro de RMN de ^{13}C (δ , 125 MHz, DMSO- d_6) de 1

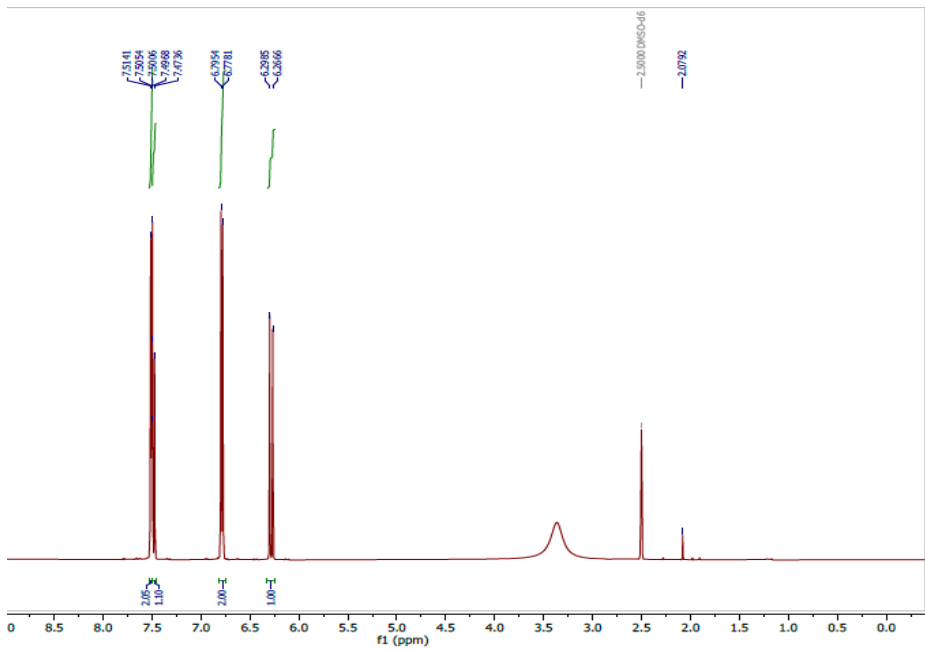


Figura 3S. Espectro de RMN de ^1H (δ , 500 MHz, DMSO-d_6) de 2

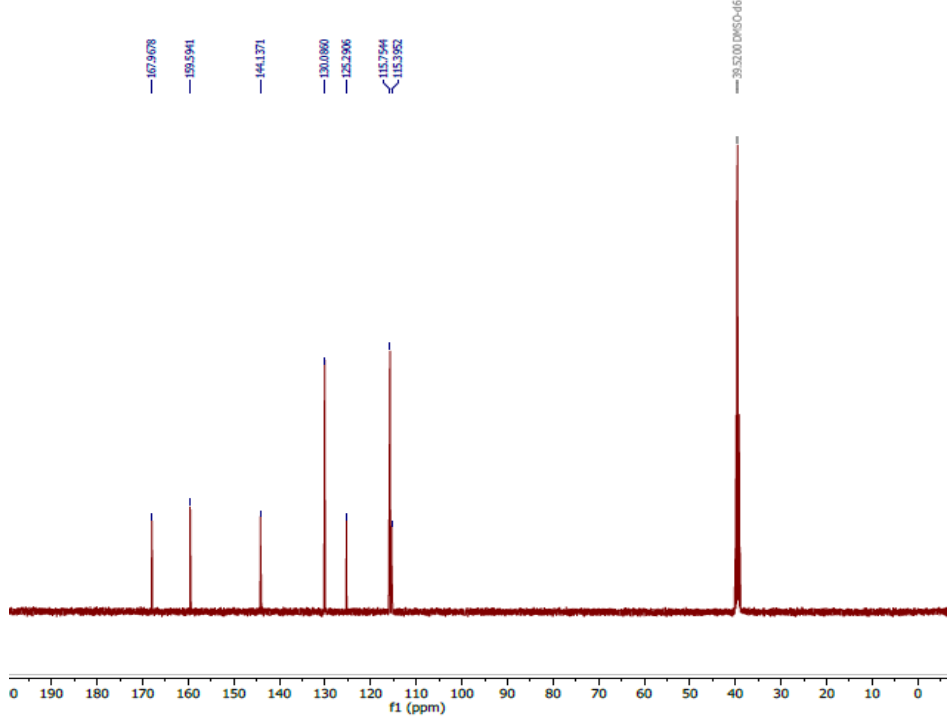


Figura 4S. Espectro de RMN de ^{13}C (δ , 125 MHz, DMSO-d_6) de 2

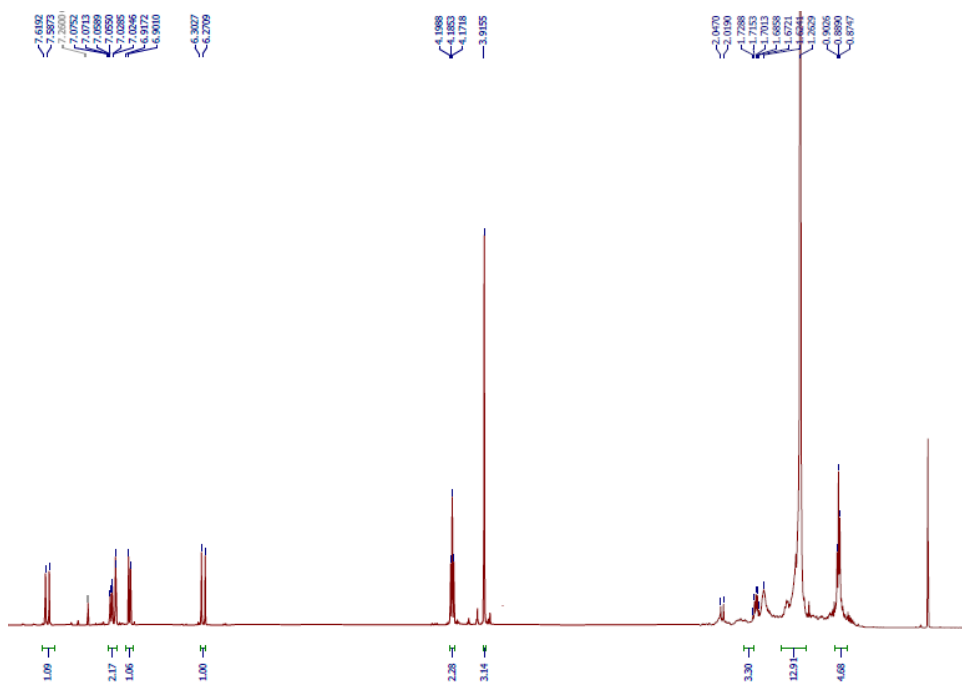


Figura 5S. Espectro de RMN de ^1H (δ , 500 MHz, CDCl_3) de 3

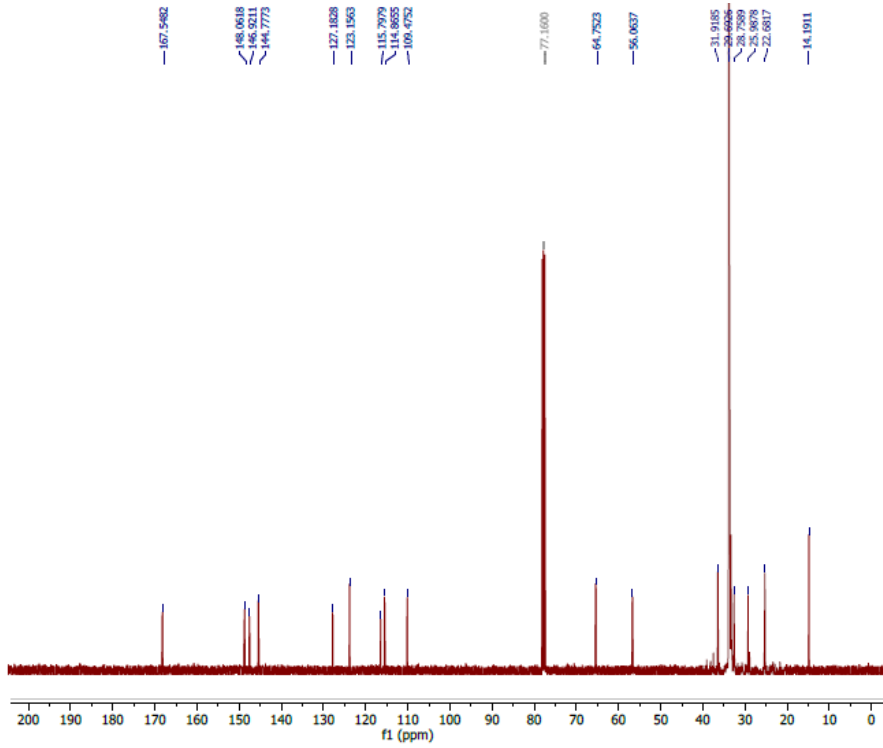


Figura 6S. Espectro de RMN de ^{13}C (δ , 125 MHz, CDCl_3) de 3

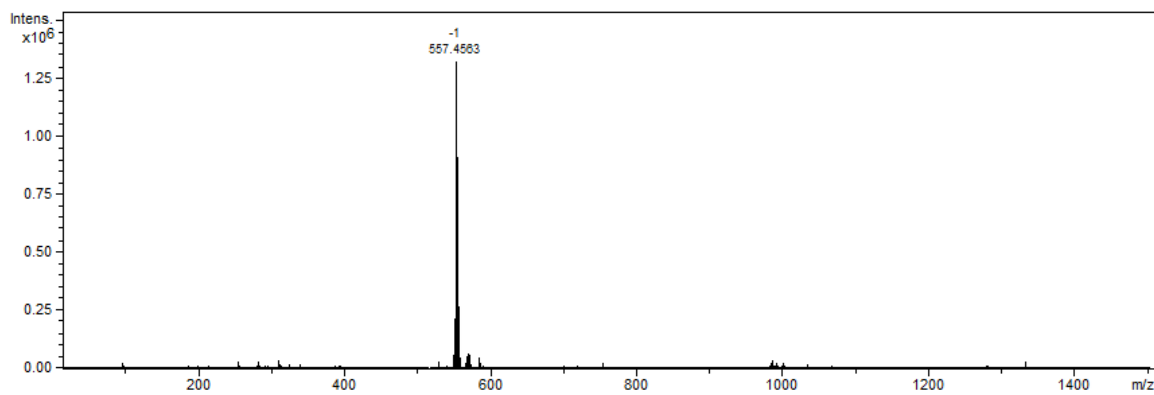


Figura 7S. Espectro de massas de alta resolução (ionização por electrospray – modo negativo) de **3**

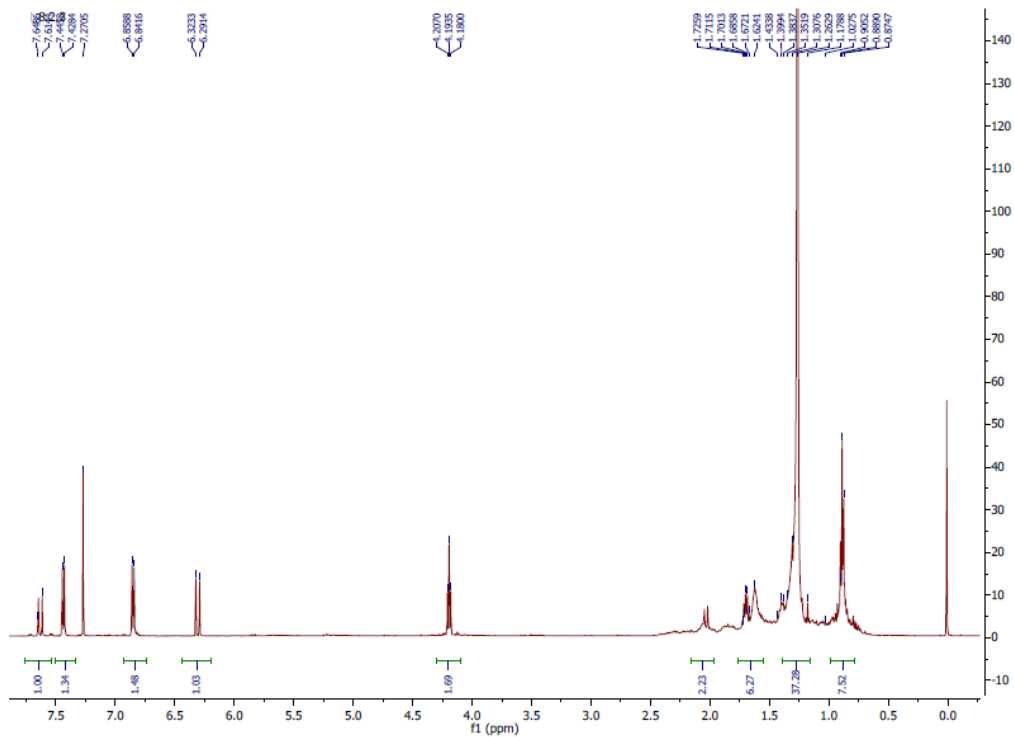


Figura 8S. Espectro de RMN de ^1H (δ , 500 MHz, CDCl_3) de **4**

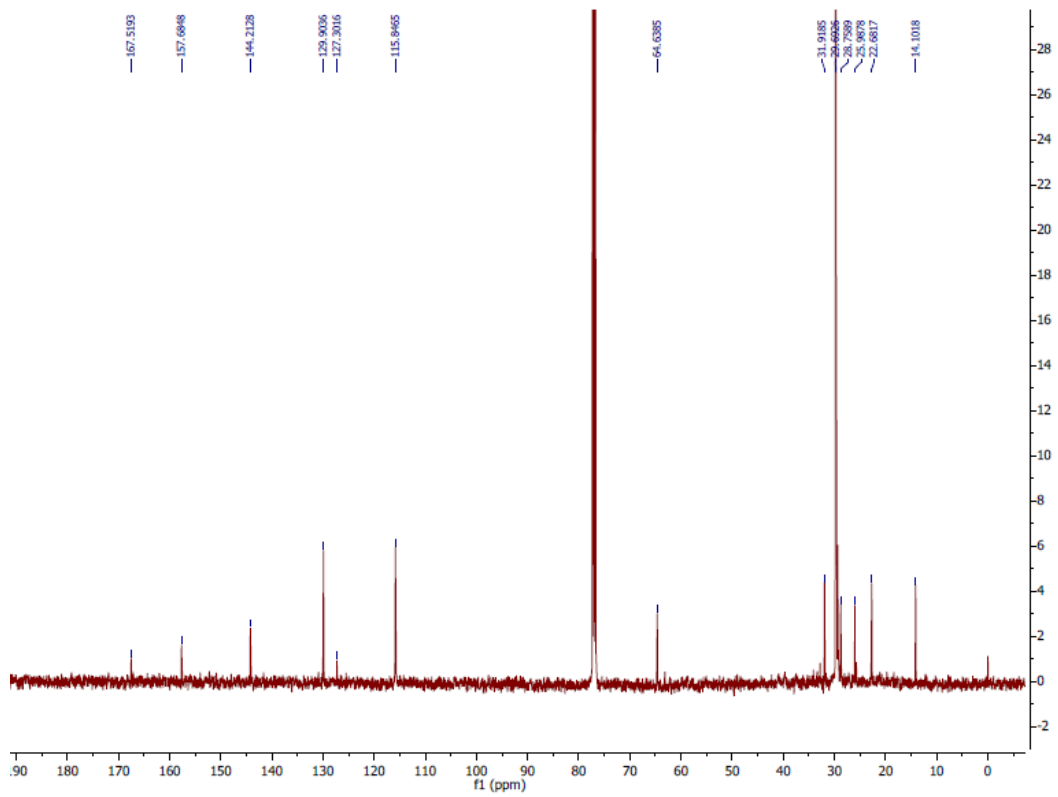


Figura 9S. Espectro de RMN de ^{13}C (δ , 125 MHz, CDCl_3) de 4

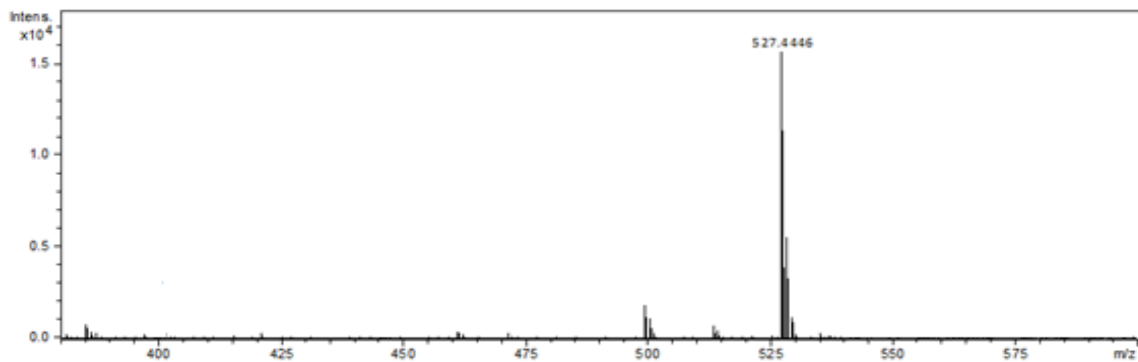


Figura 10S. Espectro de massas de alta resolução (ionização por electrospray – modo negativo) de 4

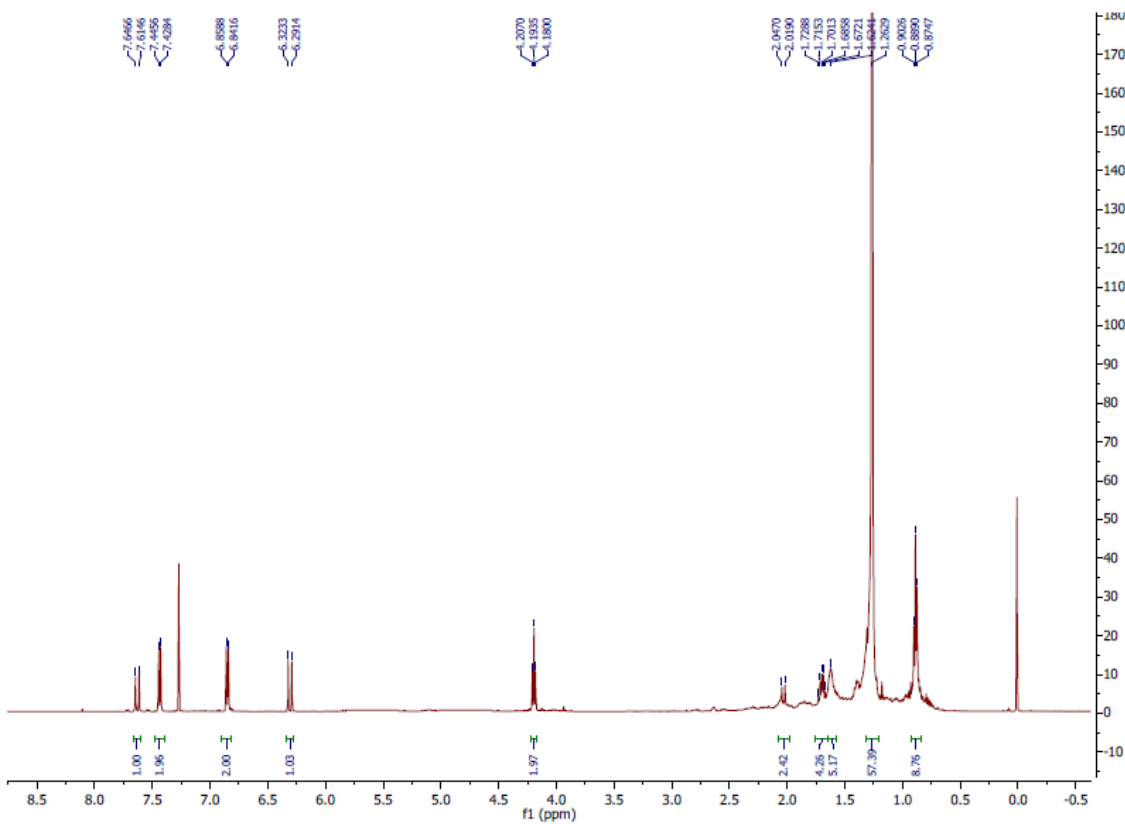


Figura 11S. Espectro de RMN de 1H (δ , 500 MHz, $CDCl_3$) de 5

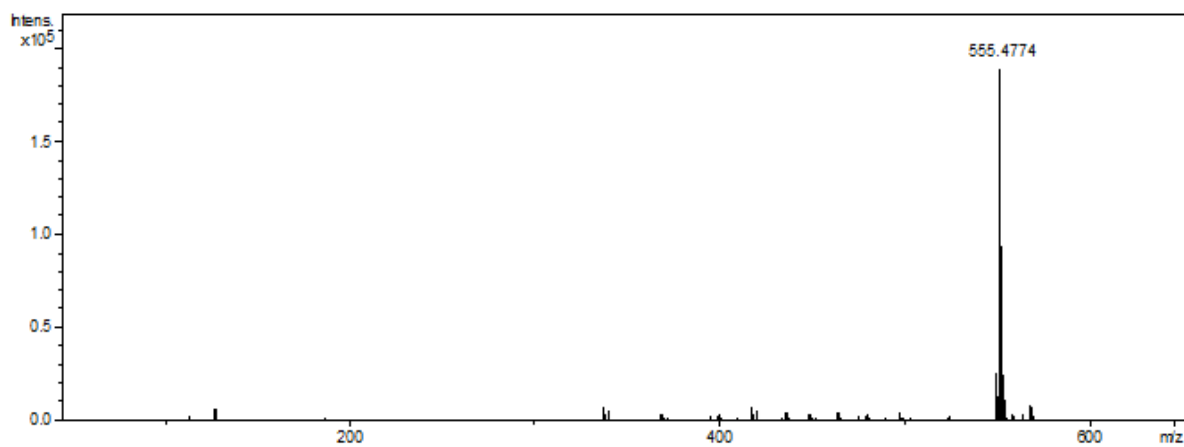


Figura 12S. Espectro de massas de alta resolução (ionização por electrospray – modo negativo) de 5

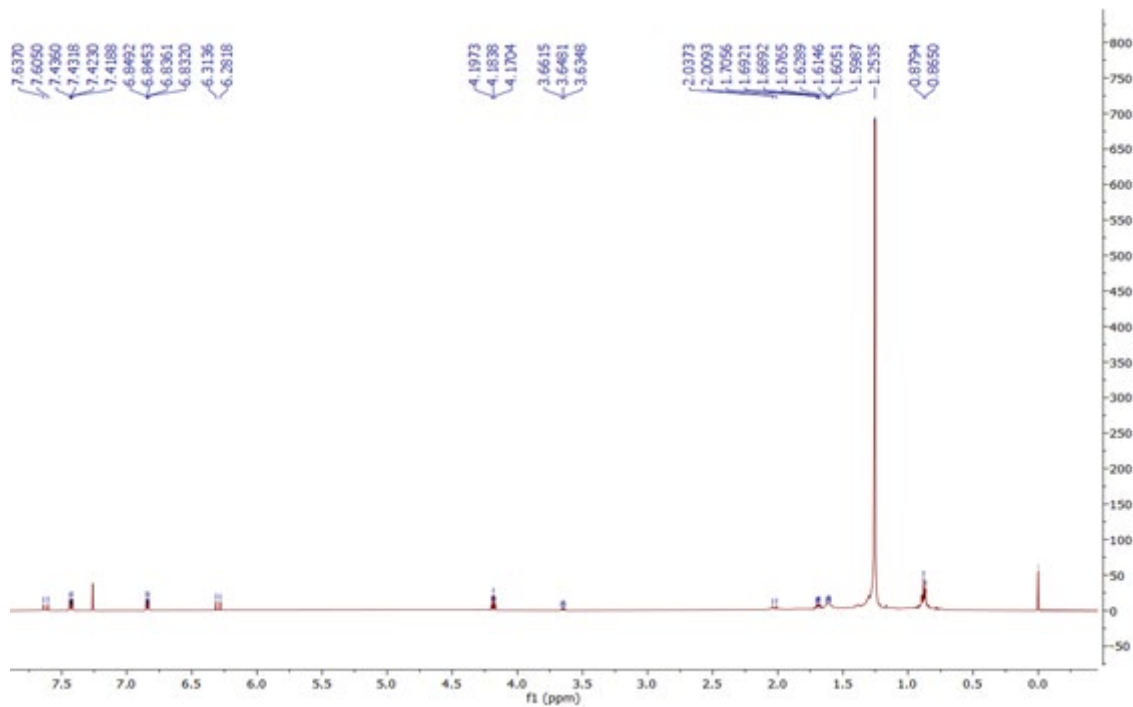


Figura 13S. Espectro de RMN de ^1H (δ , 500 MHz, CDCl_3) de **6**

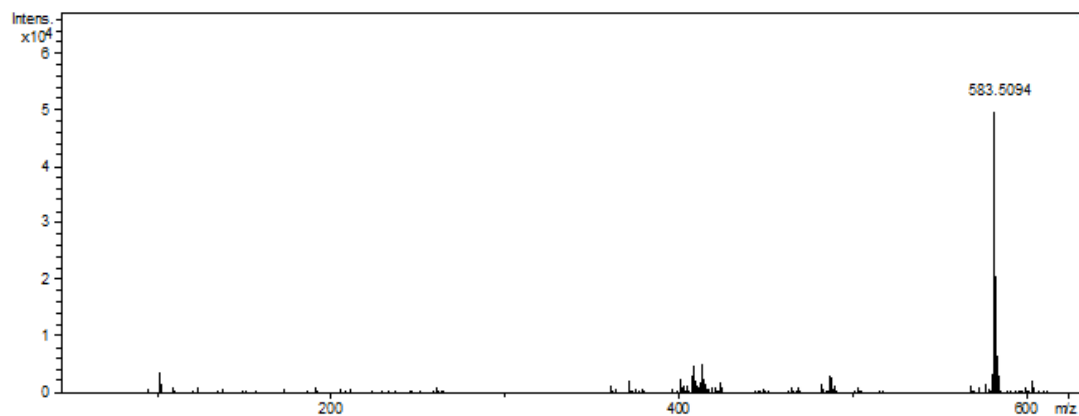


Figura 14S. Espectro de massas de alta resolução (ionização por electrospray – modo negativo) de **6**



This is an open-access article distributed under the terms of the Creative Commons Attribution License.